

## ریاضیات آشوب

### عباس عدالت

آزمایشی، یا نارساییهای مدل ریاضی ما باشد) در دراز مدت ابعاد چنان گسترده‌ای به خود می‌گیرد که وضعیت دستگاه را غیر قابل پیش‌بینی می‌کند.

بنابراین از بررسی پدیده «آشوب» این نتیجه مهم به دست می‌آید که ملاک صحت نظریه‌ای در دستگاه‌های دینامیکی نمی‌تواند پیش‌بینی دقیق رفتار آن باشد بلکه باید خواص احتمالی و هندسی ناشی از آن نظریه مورد بررسی و ارزیابی قرار گیرد.

در این مقاله خصوصیات اصلی نمونه‌ای از یک دستگاه دینامیکی آشوبناک را به‌طور اجمالی تشریح خواهیم کرد ولی قبل از آن به بررسی چند نمونه ساده از دستگاه‌های غیر آشوبناک می‌پردازیم و برخی مقولات لازم را از این طریق تعریف می‌کنیم.

#### چند نمونه از دستگاه‌های غیر آشوبناک

مثالهایی که در اینجا مطرح می‌کنیم، همه دستگاه‌های دینامیکی تعریف شده توسط یک معادله یا یک دستگاه معادلات دیفرانسیل هستند. دستگاه‌هایی که تحول آنها به‌طور پیوسته در زمان صورت می‌گیرد، معمولاً از یک دستگاه معادلات دیفرانسیل عادی تبعیت می‌کنند. این بدین معنی است که هر گاه حالت دستگاه در زمان معینی مشخص باشد، تحول آینده (و گذشته) دستگاه با دنبال کردن آن جواب دستگاه معادلات دیفرانسیل که از حالت اولیه می‌گذرد، مشخص می‌شود.

مثال ۱. معادله دیفرانسیل خطی درجه اول همگن زیر را در نظر می‌گیریم

$$dx/dt = f(x) = -\lambda x, \quad x \in \mathbb{R}, \quad \lambda > 0$$

در اینجا،  $\mathbb{R}$ ، مجموعه اعداد حقیقی، یعنی فضا را  $x$ ، را فضای حالات دستگاه دینامیکی می‌نامیم. هر گاه در لحظه  $t = 0$  داشته باشیم  $x = x_0$  آنگاه داریم  $x(t) = x_0 e^{-\lambda t}$ . رابطه اخیراً همچنین به صورت زیر می‌نویسیم

$$\phi_{t_0}(x_0) = x(t) = x_0 e^{-\lambda t}$$

به عبارت دیگر،  $\phi_t(x_0)$  مقدار  $x$  را در زمان  $t$  مشخص می‌کند اگر مقدار آن در لحظه  $t = 0$  برابر  $x_0$  باشد. برای آنکه معادله دیفرانسیل فوق را به شکل کیفی و هندسی تفسیر کنیم،  $f(x) = -\lambda x$  را یک میدان برداری در  $\mathbb{R}$  در نظر می‌گیریم. شکل ۱ را که از رسم این میدان برداری به دست می‌آید نمودار حالات دستگاه دینامیکی می‌نامیم. چند نکته را در اینجا متذکر می‌شویم.

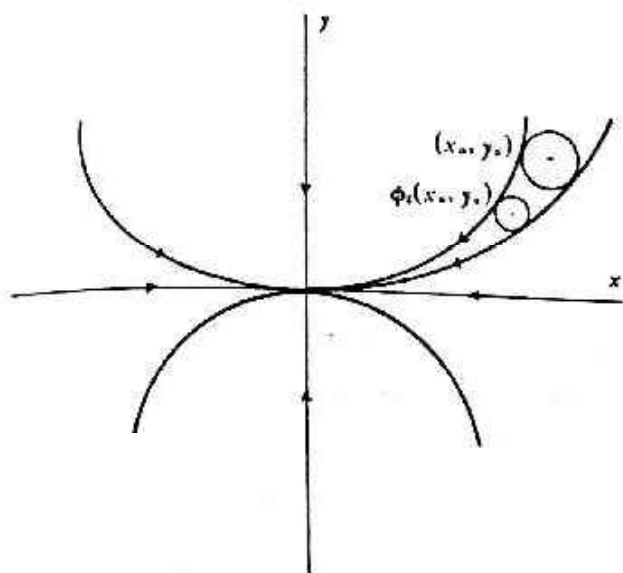
در طی سالهای اخیر موضوع «آشوب» در دستگاه‌های دینامیکی به یکی از مهمترین مسائل ریاضیات محض، ریاضیات کاربردی، و همچنین شاخه‌های مختلف علوم طبیعی تبدیل شده است. به طوری که این موضوع به صورت یکی از وسیعترین زمینه‌های تحقیقاتی زمان حاضر در آمده است. به طور کلی مقصود از یک دستگاه دینامیکی مجموعه حالات ممکن یک پدیده است همراه با یک قانون تحول که گذر از یک حالت به حالت دیگر را توصیف می‌کند. اگر حالت دستگاه در زمان معینی داده شده باشد، این قانون حالت‌های دستگاه در زمانهای بعدی را مشخص می‌کند.

چنانچه بتوان حالت‌های گذشته دستگاه را نیز بدون ابهام از قانون تحول استخراج کرد، دستگاه دینامیکی برگشت پذیر خوانده می‌شود. در این نوشته بحث ما به دستگاه‌های برگشت پذیر محدود خواهد بود. به زبان ساده می‌توان یک دستگاه دینامیکی آشوبناک را دستگاهی تعریف کرد که قانون بندی دینامیکی آن کاملاً تعیینی و بدون هر گونه عامل احتمالی بوده ولی رفتار دراز مدت سیستم در عمل غیر قابل پیش‌بینی است.

به بیان دقیقتر در این دستگاهها، عدم دقت هر چند کوچک در دانستن حالت اولیه (که به هر حال از نظر عملی غیر قابل اجتناب است) موجب بروز خطای فاحش در پیش‌بینی حالت دستگاه در دراز مدت می‌گردد. در نتیجه، «آشوب» پدیده‌ای است که علی‌الظاهر با پیش‌نیوتنی از قوانین طبیعی مغایر است، زیرا بنا به فیزیک کلاسیک چنانچه معادله حرکت و وضعیت اولیه دستگاهی را بدانیم می‌توانیم وضعیت آن را در هر زمان بعدی به دقت تعیین کنیم. به عنوان مثال هر گاه نیروهای وارد بر جسمی مشخص باشد، می‌توانیم از طریق فرمول  $F = ma$  شتاب جسم و در نتیجه مکان و سرعت آن را در هر لحظه بر حسب مکان و سرعت اولیه آن به دست آوریم.

همانطور که می‌دانیم این پیش‌کلاسیک از فیزیک در نیمه اول قرن بیستم بابت پیش‌نیوتنی کوانتوم مرزود اعلام شده، زیرا بنا به اصل عدم قطعیت هایزنبرگ اصولاً امکان اندازه‌گیری دقیق مکان و سرعت یک جسم ذره‌ای در آن واحد ممکن نیست و در نتیجه حتی وضعیت اولیه آن را نمی‌توان به‌طور قطعی مشخص کرد.

شناخت و بررسی دستگاه‌های دینامیکی آشوبناک در سالهای اخیر موجب شده است که محدودیتهای پیش‌نیوتنی بعد جدیدی به خود بگیرد، چرا که در این گونه دستگاهها هر گونه عدم قطعیت، در وضعیت اولیه، هر قدر ناچیز (که می‌تواند نتیجه اصل هایزنبرگ، خطاهای



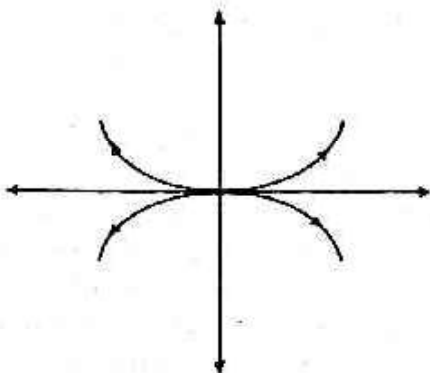
شکل ۴

به نکات ذیل توجه کنید:

۱. مبدأ مختصات صفر، رابینله دستگاه است با پهته ربايش  $\mathbb{R}^2$ .
۲. هرگونه عدم قطعیت در وضعیت اولیه با گذشت زمان کاهش می یابد؛ به عبارت دیگر اگر  $\lambda$  يك همسانی  $(x_0, y_0)$  در  $\mathbb{R}^2$  باشد، برای  $t > 0$

$$\text{اندازه } \phi_t(u) > \text{اندازه } (u)$$

۳. سیستم در نقطه صفر دارای ثبات ساختاری است.
۴. اگر  $\mu > \lambda > 0$ ، منحنیهای جواب از صفر دور می شوند و صفر يك نقطه دافع است (شکل ۵).



شکل ۵

مثال ۳

$$dx/dt = -\lambda x \quad (x, y) \in \mathbb{R}^2$$

$$dy/dt = \mu y \quad \lambda, \mu > 0$$

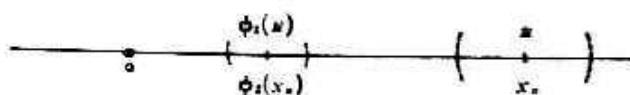
نمودار حالات مطابق شکل ۶ است.

محورهای  $x$  و  $y$  بایا هستند. نقاط روی محور  $x$  به صفر نزدیک و نقاط روی محور  $y$  از صفر دور می شوند. نقطه صفر را در اینجا يك نقطه زنی می نامند. مانند دوشال قلی، تغییرات جزئی هموار در میدان برداری، کیفیت جوابها را در همسانی صفر تغییر نخواهد داد. محور  $x$  را، یعنی مجموعه تقاطعی را که وقتی  $t \rightarrow \infty$  به صفر میل می کنند،



شکل ۱

۱. هر جواب معادله  $\phi_t(x_0) = x_0 e^{-\lambda t}$ ، صرف نظر از شرایط اولیه (یعنی مقدار  $x_0$ )، به صفر میل می کند. صفر را رباينله دستگاه دینامیکی فوق و  $\mathbb{R}$  را پهته ربايش آن می نامیم. به طور کلی نقطه ای از فضای حالات را رباينله دستگاهی نامیم اگر این نقطه کلیه نقاط يك همسانی خود را جذب کند و به مجموعه کلیه تقاطعی که در همسانی رباينله به آن جذب می شوند، پهته ربايش آن می گوئیم.
- البته مقصود از جذب کردن نقطه  $p$  این است که جواب معادله دیفرانسیل گذرا از  $p$  در زمان مثبت به رباينله میل می کند.
۲. به سادگی از شکل ۲ می بینیم که اگر عدم قطعیتی در وضعیت اولیه وجود داشته باشد، به عبارت دیگر اگر  $x(0)$  نه برابر  $x_0$  بلکه در يك همسانی  $u$  نقطه  $x_0$  قرار داشته باشد، آنگاه با گذشت زمان این عدم قطعیت کاهش می یابد؛ یا به عبارت دیگر طول  $\phi_t(u)$  برای  $t > 0$  کمتر از طول  $u$  است و در واقع طول  $\phi_t(u)$  وقتی  $t \rightarrow \infty$  به صفر میل می کند.



شکل ۲

۳. هرگاه میدان برداری فوق را اندکی به طور هموار تغییر دهیم یعنی دستگاه

$$dx/dt = f(x) = -\lambda x + O(x), \quad \lambda > 0$$

- را در نظر بگیریم که در آن مقصود از  $O(x)$  يك تابع احتمال است که سریعتر از  $x$  به صفر میل می کند وقتی  $x \rightarrow 0$  می توان نشان داد که کیفیت جوابهای معادله در يك همسانی نقطه صفر تغییری نخواهد کرد و در يك همسانی صفر کلیه نقاط همچنان به صفر میل خواهند کرد. می گوئیم دستگاه اولیه در نقطه صفر دارای ثبات ساختاری است یا رباينله دستگاه دارای ثبات ساختاری است.
۴. اگر  $\lambda = 0$ ، کلیه نقاط ثابت خواهند بود یعنی به ازای هر  $x_0$  و  $t$  در  $\mathbb{R}$  داریم  $\phi_t(x_0) = x_0$  و اگر  $\lambda > 0$  آنگاه نمودار حالت مطابق شکل ۳ است و نقاط از صفر دور می شوند. در این حالت نقطه صفر را يك نقطه دافع می نامیم.



شکل ۳

مثال ۲

$$dx/dt = -\lambda x \quad (x, y) \in \mathbb{R}^2$$

$$dy/dt = -\mu y \quad \mu > \lambda > 0$$

در اینجا فضای حالات  $\mathbb{R}^2$  است و داریم

$$\phi_t(x_0, y_0) = (x_0 e^{-\lambda t}, y_0 e^{-\mu t})$$

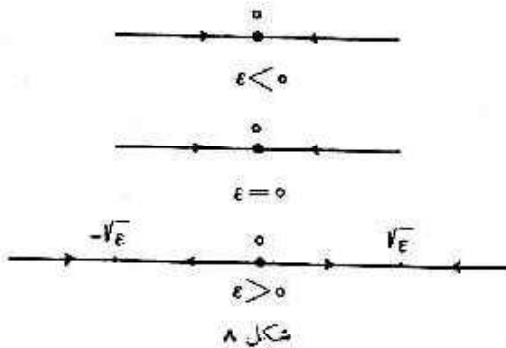
نمودار حالات مطابق شکل ۴ است.

آنگاه مقادیر ویژه  $T$  عبارتند از  $1 \pm 1.9$  - . در اینجا صفر دارای مجموعه درون رونده دوبعدی و مجموعه بیرون رونده یک بعدی خواهد بود. نمودار حالات دستگاه در نزدیکی نقطه صفر از لحاظ توپولوژیکی مطابق شکل ۷ است.

مثال ۴.

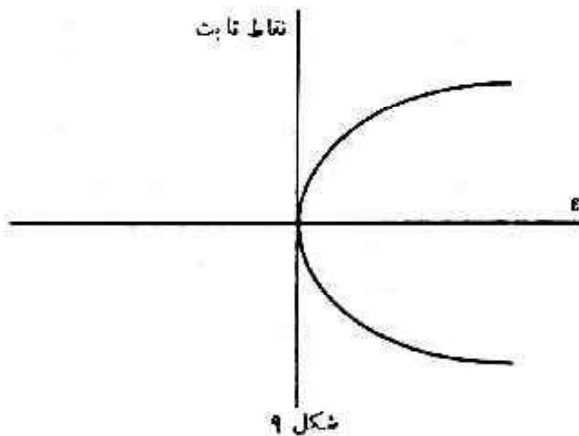
$$\frac{dx}{dt} = -x(x^2 - \epsilon), \quad x \in \mathbb{R}$$

که  $\epsilon$  يك پارامتر حقیقی است. در اینجا نمونه‌ای از يك انشعاب در يك دستگاه پارامتری دینامیکی داریم. نمودار حالات دستگاه برای مقادیر منفی، صفر و مثبت  $\epsilon$  مطابق شکل ۸ است.



شکل ۸

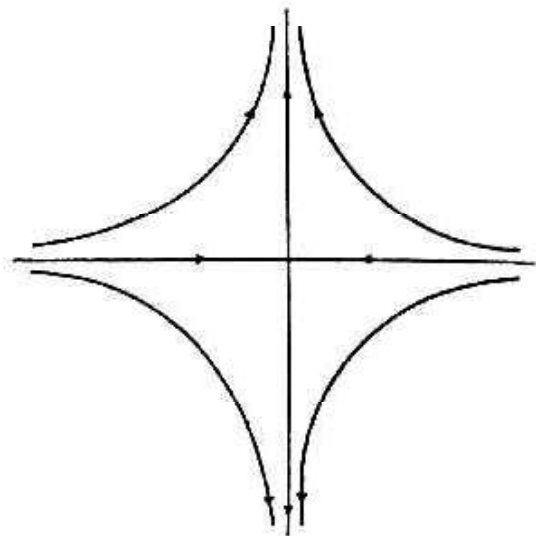
مشاهده می‌کنیم که وقتی  $\epsilon$  از صفر می‌گذرد نمودار حالات دستگاه به‌طور کیفی تغییر می‌کند. برای  $\epsilon \leq 0$  سیستم دارای يك رابنده با پهنه رابایش  $\mathbb{R}$  است در حالی که برای  $\epsilon > 0$  سه نقطه ثابت وجود دارند: صفر که يك دایره است،  $\sqrt{\epsilon}$  که رابنده با پهنه رابایش  $\mathbb{R}^+$  است و  $-\sqrt{\epsilon}$  که رابنده با پهنه رابایش  $\mathbb{R}^-$  (اعداد حقیقی منفی) است. نقطه صفر پهنه رابایش دو رابنده موجود را از یکدیگر جدا می‌کند و از این نظر به صفر می‌گوییم يك جدا ساز. اگر نقاط ثابت دستگاه پارامتری داد برابر محور  $\epsilon$  رسم نماییم شکل ۹ به دست می‌آید که شبیه يك چنگال است. از این نظر به این انشعاب (و انشعاباتی که کیفیتاً به‌طور موضعی مانند این مثال‌اند) می‌گوییم انشعاب چنگالی.



شکل ۹

مثال ۵. دستگاه دینامیکی زیر را که در مختصات قطبی بیان شده است در نظر بگیرید

$$\frac{dr}{dt} = -r(r-1)(r-2) \quad \frac{d\theta}{dt} = 1$$



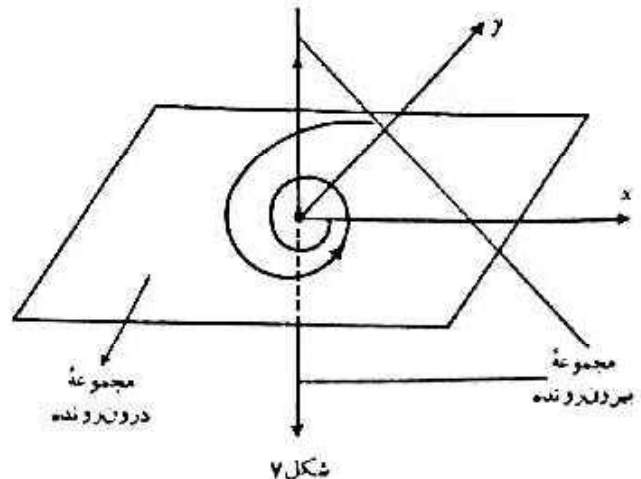
شکل ۶

مجموعه درون رونده و محور  $r$  را، یعنی مجموعه نقاطی را که وقتی  $t \rightarrow -\infty$  به صفر میل می‌کنند، مجموعه بیرون رونده نقطه صفر می‌نامیم. توجه کنید که در اینجا مجموعه درون رونده و بیرون رونده هر کدام يك بعدی است در حالی که در مثالهای ۱ و ۲ مجموعه‌های درون رونده به ترتیب ۱ بعدی و ۲ بعدی و مجموعه‌های بیرون رونده تهی بودند. توضیح: در سه مثال فوق کیفیت جوابیای معادله دیفرانسیل را در نزدیکی يك نقطه ثابت بررسی کردیم. به‌طور کلی اگر يك میدان برداری در  $\mathbb{R}^n$  داشته باشیم که صفر نقطه ثابت آن باشد یعنی اگر

$$\frac{dx}{dt} = f(x) = Tx + \dots$$

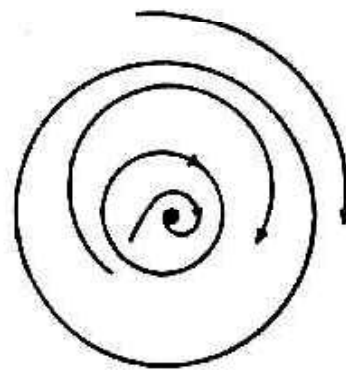
که در اینجا  $x \in \mathbb{R}^n$  و  $f$  يك میدان برداری در  $\mathbb{R}^n$  و  $T$  بخش خطی  $f$  است و اگر مقادیر ویژه  $T$  همگی دارای بخش حقیقی غیر صفر باشند، آنگاه نقطه صفر دارای يك مجموعه درون رونده  $l$  بعدی و يك مجموعه بیرون رونده  $n-l$  بعدی است که در اینجا  $l$  تعداد مقادیر ویژه  $T$  با بخش حقیقی منفی است. به عنوان مثال اگر داشته باشیم

$$T = \begin{pmatrix} -1 & 1 & 0 \\ -1 & -1 & 0 \\ 0 & 0 & 1 \end{pmatrix}$$



شکل ۷

مدارهایی که در قلمرو رابنده‌ها قرار دارند با گذشت زمان به سرعت بدر بایند نزدیک می‌شوند و عملاً از رابنده مورد نظر قابل تشخیص نخواهند بود. در واقع از لحاظ فیزیکی تنها رابنده‌های یک دستگاه می‌باشند که قابل مشاهده هستند. سؤالی که در اینجا مطرح می‌شود این است که آیا به جز رابنده‌های نقطه و دور حدی که در مثالهای گذشته دیدیم رابنده‌هایی از نوع دیگر وجود دارند یا نه؟ در اینجا منظور ما رابنده‌ای است که قابل تجزیه به رابنده‌های نقطه‌ای و دور حدی نباشد. در واقع نوع دیگری از رابنده از دیرباز شناخته شده است که رابنده شیب تناوبی نامیده می‌شود. طبق شکل ۱۲، چنبره دوبره‌ای را مربعی تصور کنید که اضلاع روبرویش دو به دو یکی انگاشته شده باشند.



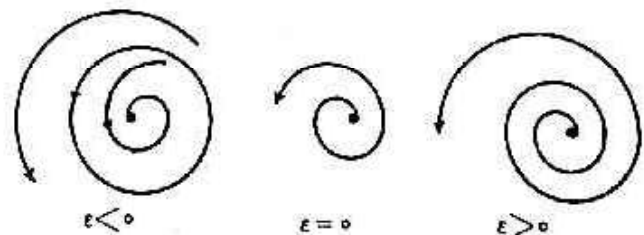
شکل ۱۰

در اینجا  $\epsilon = 0$ ، یعنی مبدأ مختصات یک رابنده است و دور  $r = 1$  و  $r = 2$  هر دو جوابهای دستگاه‌اند. به سادگی می‌توانیم ملاحظه کنیم که  $r = 2$  یک مدار بسته است که کلیه مدارهای ناحیه  $1 < r < 2$  را جذب خود می‌کند. در اینجا  $r = 2$  نمونه‌ای از یک رابنده غیر نقطه‌ای است که آن را یک دور حدی می‌نامیم. بهینه رابیش آن نیز  $1 < \epsilon < 2$  است. از طرف دیگر  $r = 1$  یک مدار بسته دافع است و کلیه مدارها در  $1 < r < 2$  از آن دور می‌شوند (شکل ۱۰).

مثال ۶. در مختصات قطبی

$$\frac{dr}{dt} = r(\epsilon + r^2) \quad \frac{d\theta}{dt} = 1$$

و  $\epsilon$  یک پارامتر حقیقی است. در اینجا نیز انشعابی داریم که به انشعاب هوبت معروف است. برای  $\epsilon < 0$ ،  $r = \sqrt{-\epsilon}$  یک مدار بسته دافع است و  $r = 0$  یک رابنده نقطه‌ای. وقتی  $\epsilon$  به صفر می‌رسد مدار دافع در رابنده نقطه‌ای ادغام می‌شود. به طوری که برای  $\epsilon \geq 0$  صفر یک نقطه دافع می‌شود (شکل ۱۱).



شکل ۱۱

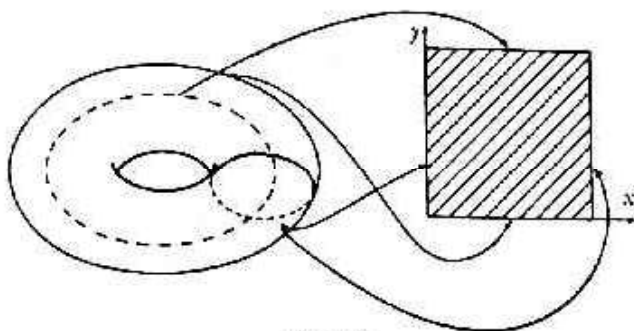
اگر در دستگاه فوق زمان را معکوس کنیم یعنی میدان برداری

$$\frac{dr}{dt} = -r(\epsilon + r^2)$$

$$\frac{d\theta}{dt} = -1$$

را در نظر بگیریم آنگاه برای  $\epsilon < 0$  به جای یک مدار بسته دافع یک دور حدی رابنده داریم.

از آنچه گذشت نتیجه می‌گیریم که مهمترین مسأله در بررسی کیفی معادلات دیفرانسیل تعیین رابنده‌های معادله است زیرا



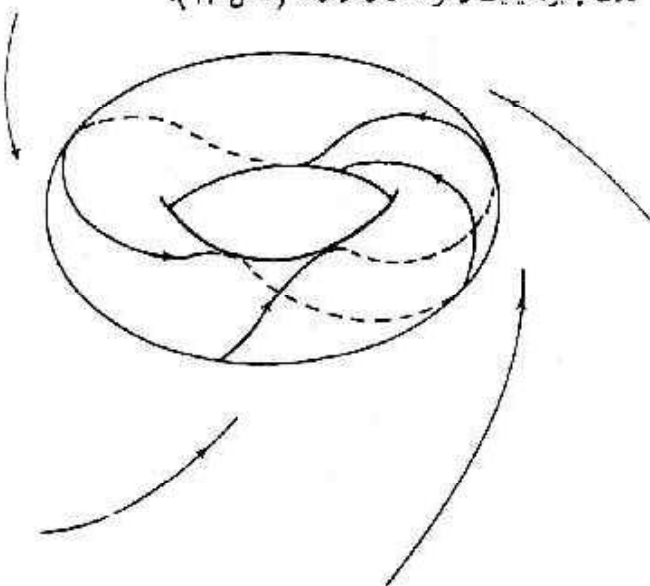
شکل ۱۲

حال میدان برداری

$$\frac{dx}{dt} = w_1$$

$$\frac{dy}{dt} = w_2$$

را روی مربع در نظر بگیرید به طوری که  $w_1/w_2$  یک عدد گنگ باشد. با اندکی تأمل روشن می‌شود که مدار هر نقطه روی چنبره چگال خواهد بود. حال به راحتی می‌توان یک میدان برداری در  $R^2$  تصور کرد که مدارهای آن همگی به سوی یک چنبره جذب می‌شوند و مدارهای روی چنبره کیفیت ذکر شده را دارند (شکل ۱۳).



شکل ۱۳

تغییرات نمودار حالات دستگاه را در این طیف از مقادیر  $R$  (که مورد بررسی لورنتس قرار گرفت) به طور اجمالی تشریح می‌کنیم. ابتدا نقاط ثابت می‌سازان را پیدا می‌کنیم. روشن است که  $x = y = z = 0$  یعنی مبدأ مختصات همواره یک نقطه ثابت است. از معادلات (\*) به راحتی می‌توانیم بخش خطی میدان برداری را در نقطه  $O$  به دست آوریم

$$T = \begin{pmatrix} -\sigma & \sigma & 0 \\ R & -1 & 0 \\ 0 & 0 & -b \end{pmatrix}$$

در نتیجه مقادیر ویژه  $T$  عبارت‌اند از  $-b$  و ریشه‌های معادله

$$\lambda^2 + (\sigma + 1)\lambda + (1 - R)\sigma = 0.$$

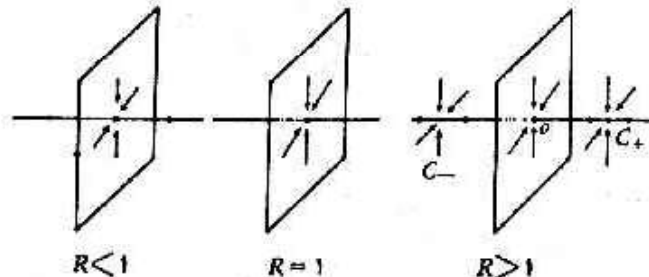
وقتی  $R < 1$ ، دو مقدار ویژه دیگر هر دو منفی‌اند و در نتیجه  $O$  یک رابنده است در حالی که وقتی  $R > 1$ ، یکی از آنها مثبت و دیگری منفی است؛ یعنی  $O$  یک نقطه زینی با مجموعه درون رونده و بعدی و مجموعه بیرون رونده یک بعدی است (توجه کنید که مقادیر  $\sigma = 10$  و  $b = 8/3$  هر دو ثابت و مثبت می‌باشند).

از طرف دیگر میدان برداری (\*) به ازای  $R > 1$  در دو نقطه دیگر نیز صفر می‌شود که مختصاً نشان عبارت‌اند از

$$\begin{cases} z = R - 1 \\ x = y = \pm \sqrt{b(R - 1)} \end{cases}$$

این دو نقطه را  $C_{\pm}$  می‌نامیم. با بررسی بخش خطی میدان برداری در این دو نقطه می‌توان نشان داد که برای مقادیر  $R$  که کمی بزرگتر از ۱ باشند، بخش خطی میدان در هر دو نقطه دارای سه مقدار ویژه منفی می‌باشند و لذا هر دو رابنده هستند.

توجه کنید که وقتی  $R \rightarrow 1^+$ ،  $C_{\pm} \rightarrow O$  یعنی در  $R = 1$  دو نقطه رابنده  $C_{\pm}$  از  $O$  زاییده می‌شوند. در واقع در  $R = 1$  انشعابی در نقطه  $O$  صورت می‌گیرد که روی یک منحنی، که از  $O$  می‌گذرد و امتداد مماسش در آن نقطه درجهتی است که دو نقطه ثابت جدید  $C_{\pm}$  از  $O$  زاییده می‌شوند، از نوع انشعاب چنگالی در مثال ۴ است. این منحنی را خمینه مرکزی می‌نامند. در صفحه قاطع بر این منحنی انقباض صورت می‌گیرد (شکل ۱۵).



شکل ۱۵

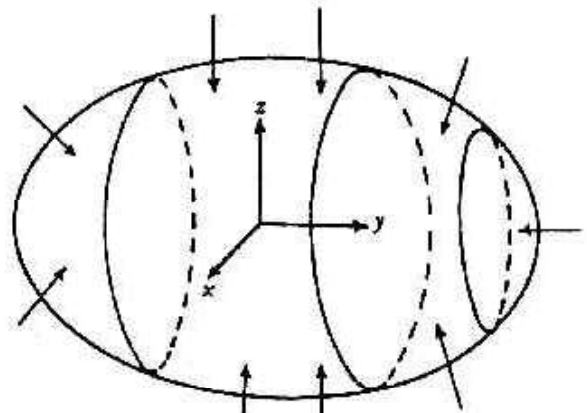
حال که انشعاب موضعی در  $R = 1$  را بررسی کردیم، نمودار حالات دستگاه را برای  $R < 1$  و  $R > 1$  کمی بزرگتر از ۱ تشریح می‌کنیم. برای  $R < 1$ ، میدان برداری تنها یک نقطه ثابت رابنده در  $O$  دارد که کلیه مدارهایی را که وارد  $M$  می‌شوند جذب می‌کند (شکل ۱۶).

رباینده غریب لورنتس

تا اوایل دهه ۱۹۶۰ تصور می‌شد که هر رابنده‌ای قابل تجزیه به یکی از سه رابنده‌ای است که تا کنون دیده‌ایم. در این زمان ریاضیدان آمریکایی اسمیل<sup>۱</sup> اولین نمونه از یک «رباینده غریب» را ارائه کرد که در آن، رابنده دستگاه شکل پیچیده‌ای داشت و رفتار جوابهای دستگاه نیز در داخل و اطراف رابنده وضعیتی درهم و از نظر عملی غیر قابل پیش‌بینی داشت. با این حال این مثال هنوز در قلمرو نظریه ریاضی بود و تصور نمی‌شد که در دستگاههای تابع قوانین فیزیک کلاسیک بتوان چنین پدیده‌ای را مشاهده کرد. ولی در ۱۹۶۳ یک ریاضیدان و جوشناس آمریکایی به نام لورنتس<sup>۲</sup> مقاله‌ای منتشر کرد که در آن برای اولین بار رابنده‌ای از نوع جدید در مسائل طبیعی مطرح می‌شد. او که در جستجوی یک مدل ریاضی برای توضیح تلاطم جوی در هواشناسی بود، معادله دیفرانسیل زیر را در نظر گرفت

$$\left. \begin{aligned} \frac{dx}{dt} &= -\sigma(x - y) \\ \frac{dy}{dt} &= Rx - y - xz \quad \text{یا} \quad \frac{dr}{dt} = V(r) \\ \frac{dz}{dt} &= xy - bz \end{aligned} \right\} (*)$$

که در اینجا  $(x, y, z) \in \mathbb{R}^3$  و  $R, b, \sigma$  پارامترهای حقیقی هستند. لورنتس مقادیر  $\sigma = 10$  و  $b = 8/3$  را بررسی کرد و نشان داد که به ازای جمیع مقادیر مثبت  $R$ ، یک ناحیه همبند ساده،  $M$ ، که در برگیرنده مبدأ مختصات است در  $\mathbb{R}^3$  وجود دارد به طوری که میدان برداری (۵) در کلیه نقاط مرزی آن به طرف داخل است (شکل ۱۴).



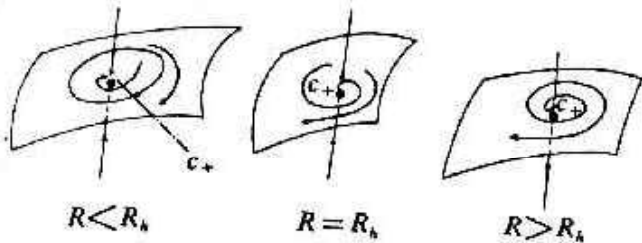
شکل ۱۴

از اینجا نتیجه می‌شود که  $M$  باید حاوی رابنده (یا رابنده‌های مختلف) باشد. دو واقع  $A = \bigcap_{t \geq 0} \phi_t(M)$  رابنده (یا رابنده‌های) مورد نظر است. از طرف دیگر دو دایره  $C_{\pm}$  میدان برداری (\*) منفی است. به راحتی می‌توان نشان داد که حجم هر قطعه از فضای حالات با گذشت زمان کاهش می‌یابد. و در واقع حجم قطعه به صفر میل می‌کند (در اصطلاح ریاضی، وضعیت حدی این قطعه یک مجموعه اندازه صفر است).

حال برای تعیین رابنده (یا رابنده‌های) موجود در  $M$  مقدار پارامتر  $R$  را از  $R = 0$  تا  $R = 28$  افزایش می‌دهیم و کیفیت و

دو انشعاب هنوز دارای دو رابنده  $C_+$  و  $C_-$  است و مجموعه درون رونده  $O$  کماکان جداکننده قلمرو رابندگی  $C_+$  و  $C_-$  است ولی به دلیل دو انشعاب اخیر، این مجموعه درون رونده به طرز غامضی در مجاورت  $C_+$  و  $C_-$  به هم می پیچد بطوریکه مثلاً مداری که در  $M_+$  قرار دارد می تواند چندین بار در نزدیکی  $C_-$  به دور آن بپیچد تا سرانجام به  $C_+$  میل کند.

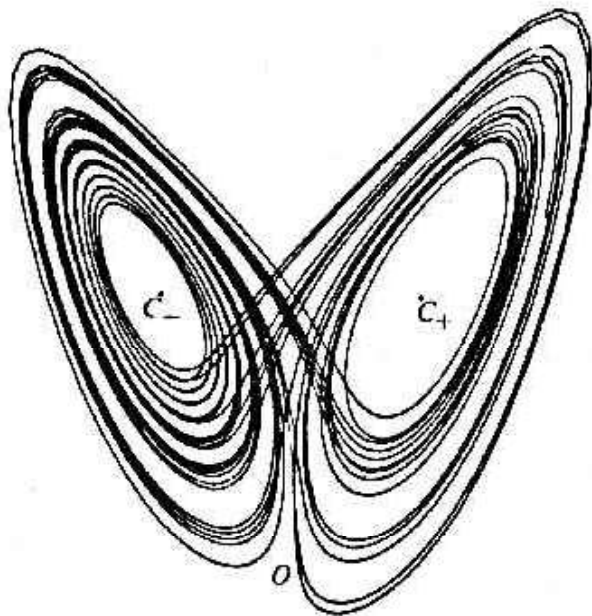
وقتی  $R$  باز هم افزایش یابد، در  $R = R_h \approx 24.77$  در هر یک از نقاط ثابت  $C_+$  و  $C_-$  یک انشعاب هویف از نوع موجود در مثال ۶ صورت می گیرد. به عبارت دیگر در هر یک از نقاط ثابت  $C_+$  و  $C_-$  روی یک خمینه دوبعدی (خمینه مرکزی) انشعابی از نوع هویف صورت می گیرد و در امتداد قاطع بر این خمینه دوبعدی در نقطه ثابت مورد نظر انقباض انجام می پذیرد (شکل ۱۸).



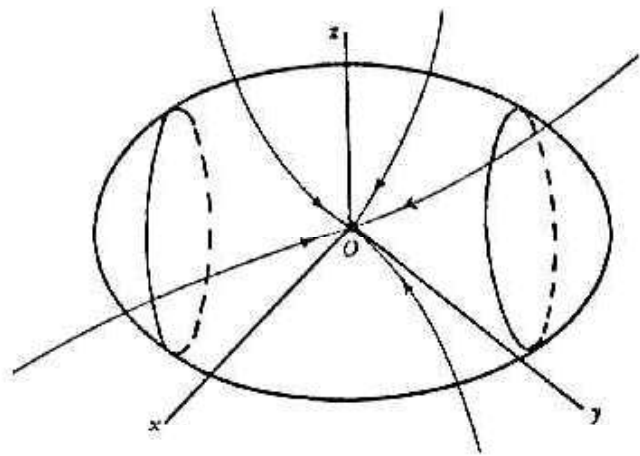
شکل ۱۸

در نتیجه برای  $R$  کمی بزرگتر از  $R_h$ ،  $C_+$  و  $C_-$  نقاط ثابت زینی هستند که هر یک دارای مجموعه درون رونده یک بعدی و مجموعه بیرون رونده دوبعدی می باشند.

اما قبلاً گفتیم که  $M$  باید حاوی رابنده ای باشد. سؤالی که هم اکنون مطرح است این است که در شرایطی که هیچیک از نقاط  $O$  و  $C_+$  و  $C_-$  برای  $R$  کمی بزرگتر از  $R_h$  رابنده نیستند چگونه رابنده ای در  $M$  وجود دارد؟ لورنتس با استفاده از روشهای تقریب عددی و شبیه سازی به کمک کامپیوتر نشان داد که کلیه مدارها در  $M$  جذب مجموعه پیچیده ای می شوند که غیر قابل تجزیه است و نمودار تقریبی آن را می توان در شکل ۱۹ مشاهده کرد.

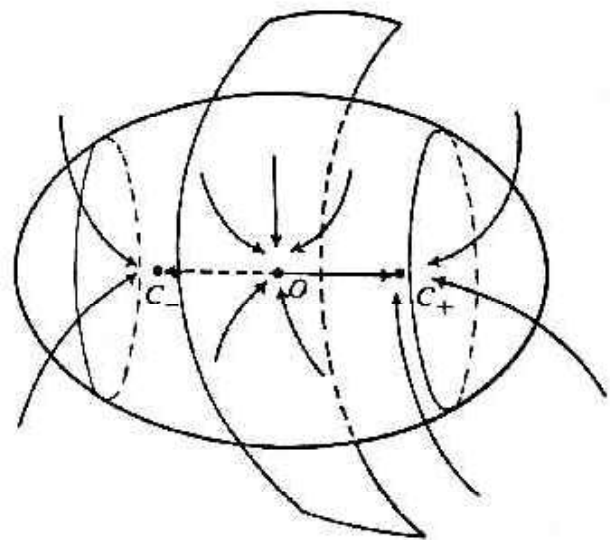


شکل ۱۹



شکل ۱۶

برای مقادیر  $R$  کمی بزرگتر از ۱، دو نقطه رابنده  $C_{\pm}$  داریم و یک نقطه ثابت زینی در  $O$  که دارای مجموعه درون رونده دوبعدی و مجموعه بیرون رونده یک بعدی است. در اینجا مجموعه دوبعدی درون رونده  $O$  را به دو ناحیه پایایی  $M_+$  که حاوی  $C_+$  است و  $M_-$  که حاوی  $C_-$  است تقسیم می کند. کلیه مدارهایی که در  $M_+$  هستند جذب  $C_+$  و کلیه مدارهای  $M_-$  جذب  $C_-$  می شوند. در واقع مجموعه درون رونده  $O$  که برای مقادیر  $R$  کمی بزرگتر از یک تقریباً یک صفحه دوبعدی نسبتاً صاف است، جدا کننده قلمرو رابندگی  $C_+$  و  $C_-$  می باشد (شکل ۱۷).



شکل ۱۷

وقتی مقدار  $R$  را از  $1$  به بالا افزایش دهیم نقاط  $C_{\pm}$  بیشتر از  $O$  فاصله می گیرند و مجموعه درون رونده  $O$  به طور فزاینده خمیدگی پیدا می کند تا اینکه در  $R \approx 13.92$  مجموعه درون رونده  $O$  به مجموعه بیرون رونده  $O$  اصابت می کند (در واقع مجموعه بیرون رونده در مجموعه درون رونده قرار می گیرد).

در اینجا انشعاب پیچیده ای صورت می گیرد، که برخلاف انشعابات قبلی که تا به حال دیده ایم یک انشعاب موضعی نیست که در همسایگی یک نقطه انجام گیرد بلکه انشعابی سرتاسری است.

بررسی این دو انشعاب خارج از حیطه این مقاله است. تنها به ذکر این نکته اکتفا می کنیم که نمودار حالات دستگاه بلافاصله پس از این

پیش‌بینی می‌شود. در واقع هرگاه يك قطعه‌ای هر چند كوچك از فضای حالات را در نظر بگیریم این قطعه پس از مدتی چرخش به دور شاخه‌ها ناگهان به‌طور غیرمنتظره به دو تکه که هر يك به‌دور یکی از شاخه‌ها می‌چرخد تجزیه می‌شود و سپس هر کدام از تکه‌ها پس از مدتی دوباره دچار تجزیه می‌گردند و این روند دائماً ادامه می‌یابد به‌طوری که پس از مدتی تکه اولیه به تعداد بسیار زیاد تجزیه شده به‌طور کمابیش یکنواخت در کل رابینده پخش خواهد شد. از لحاظ فیزیکی این بدان معنی است که خطای موجود در وضعیت اولیه هر چند هم که ناچیز باشد با گذشت زمان وضعیت دستگاه با احتمال برابری تواند در هر يك از نقاط رابینده غریب باشد!

مطلب دیگری که شایان توجه است این است که هرگاه مقدار  $R$  را کمی تغییر دهیم، انشعابات پیچیده‌ای در دستگاه صورت می‌گیرد و اگر چه ساختار کلی رابینده غریب تغییری نمی‌نماید ولی توپولوژی مدارهای رابینده عوض می‌شود. به عبارت دیگر رابینده لورنتس دارای ثبات ساختاری به معنی مرسوم کلمه نیست هر چند که برای يك طیف از مقادیر  $R$  رفتارهای کلی مشابهی در دستگاه به چشم می‌خورد. این مطلب بیش از هر چیز نارسایی مفولۀ ثبات ساختاری را در بررسی رابینده‌های غریب نشان می‌دهد. در واقع علی‌رغم تحقیقات پر دامنه برای رابینده‌های غریب در معادلات دیفرانسیل و همچنین در دستگاه‌های گسسته هنوز چارچوب نظری مناسبی برای شناخت و بررسی رابینده‌های غریب وجود ندارد و تلاش در این جهت بی‌شک یکی از نمر به‌خشن‌ترین زمینه‌های فعالیت ریاضیات در سالهای آینده خواهد بود.

## منابع

1. Abraham R., & Shaw C., *Dynamics: The Geometry of Behavior*, Aerial Press, Santa Cruz, CA, 1982.
2. Devaney R., *An Introduction to Chaotic Dynamical Systems*, Benjamin/Cummings, Menlo Park, CA, 1986.
3. Guckenheimer J., & Holmes P., *Nonlinear Oscillations, Dynamical Systems, and Bifurcations of Vectorfields*, Springer-Verlag, New York, 1983.
4. Hao Bao-Lin, *Chaos*, World Scientific, Singapore, 1984.
5. Ruelle D., "Strange attractors", *Math. Intelligencer*, 2 (1980) 126-137.
6. Ruelle D., "Differentiable dynamical systems and the problem of turbulence", *Bull. Am. Math. Soc.*, 5 (1981) 29-42.
7. Smale S., *The Mathematics of Time*, Springer-Verlag, New York, 1980.
8. Sparrow C., *The Lorenz Equations: Bifurcations, Chaos, and Strange Attractors*, Springer-Verlag, New York, 1982.

رابینده لورنتس مطابق شکل فوق به صورت يك رویه دولا به است که هر يك از لایه‌های خرفه‌ای در وسط دارد. این دو خرفه یکی نقطه ثابت  $C_+$  و دیگری  $C_-$  را در بر گرفته است. در نتیجه، رابینده لورنتس رابینده «غریبی» است که مانند هیچیک از سه نوع رابینده‌ای که قبلاً دیدیم نمی‌باشد.

اگر به کمک کامپیوتر مسیر يك مدار دلخواه در  $M$  را بررسی کنیم خواهیم دید که مدار مزبور به سرعت به رابینده لورنتس نزدیک می‌شود و مسیری کاملاً غیر قابل پیش‌بینی دارد به‌طوری که فی‌المثل چندین بار روی شاخه  $C_+$  به دور این نقطه ثابت می‌چرخد سپس تغییر مسیر داده به روی شاخه  $C_-$  می‌رود و به تعدادی ظاهرأ نامشخص دور  $C_-$  می‌زند بعد دوباره به شاخه  $C_+$  می‌پرد و این کار الی‌الابد ادامه می‌یابد. چگونه می‌توانیم این رفتار را تبیین کنیم؟! ابتدا متذکر می‌شویم که مجموعه يك بعدی بیرون رونده  $O$  مرکز رابینده را تشکیل می‌دهد (شکل ۱۹). از طرف دیگر هر يك از لایه‌های ظاهری رابینده حول  $C_+$  و  $C_-$  نزدیک به مجموعه بیرون رونده این نقاط است. در نتیجه هرگاه يك مدار دلخواه در  $M$  در نزدیکی شاخه  $C_+$  قرار بگیرد تحت تأثیر مجموعه بیرون رونده  $C_+$  چندبار دور  $C_+$  می‌چرخد به‌طوری که هر بار فاصله‌اش از  $C_+$  بیشتر می‌شود تا جایی که بالاخره در آخرین دور خود به قدری از  $C_+$  دور می‌شود که از حوزه نفوذ مجموعه بیرون رونده آن خارج می‌شود و تحت تأثیر مداری که از  $O$  دور  $C_-$  می‌چرخد (که نمایی از مجموعه بیرون رونده  $O$  را تشکیل می‌دهد) فرا می‌گیرد و نتیجتاً به سمت  $C_-$  سوق داده می‌شود. سپس تحت تأثیر مجموعه بیرون رونده  $C_-$  به شاخه  $C_-$  نزدیک می‌شود و اینک چندین بار دور  $C_-$  می‌چرخد و همان روندی را در چرخش به دور آن طی می‌کند که قبلاً در  $C_+$  انجام داده بود. بنابراین مدار مزبور مرتباً پس از تعدادی چرخش در یکی از شاخه‌ها به شاخه دیگر می‌پرد (شکل ۱۹).

حال اگر دو نقطه بسیار نزدیک در  $M$  را در نظر بگیریم و مسیر مدارهای این دو نقطه را مقایسه کنیم خواهیم دید که برای مدتی این دو مدار در نزدیکی یکدیگر قرار دارند و با هم به دور يك شاخه چرخیده و با هم از يك شاخه به شاخه دیگر می‌برند ولی چون هنگام چرخش به دور يك شاخه فاصله این دو مدار تحت تأثیر مجموعه بیرون رونده  $C_+$  یا  $C_-$  به تدریج افزایش می‌یابد بالاخره زمانی می‌رسد که مسیر دو مدار از هم جدا شده یکی از آنها همچنان به دور شاخه قبلی خود می‌چرخد در حالی که دیگری از آن شاخه به شاخه دیگر تغییر مسیر می‌دهد.

نکته مهم اینجاست که هر چند فاصله اولیه دو مدار جزئی باشد، بالاخره با گذشت زمان مسیرها از هم جدا می‌شوند. در نتیجه اگر کوچکترین ابهامی در وضعیت اولیه موجود باشد، رفتار درازمدت دستگاه غیر قابل